

**UNIVERSITATEA “BABES-BOLYAI” CLUJ-NAPOCA
FACULTATEA DE CHIMIE SI INGINERIE CHIMICA**

Combinatii complexe cu acizi organici polifunctionali

Rezumat

Elena Ilies

**Coordonator stiintific:
Acad.Prof.Dr. Ionel
Haiduc**

-2012

Cuprins:

INTRODUCERE

STUDIU DE LITERATURA

Capitolul I. Combinatii coordinative cu liganzi organici polifunctionali.

I.1. Polimerii coordinativi ca structuri supramoleculare

I.2. Polimeri coordinativi cu retele metalorganice

I.2.1. Polimeri de coordinare 1D (monodimensionali)

I.2.2. Polimeri de coordinare 2D (bidimensionali)

I.2.3. Polimeri de coordinare 3D (tridimensionali)

I.3 Polimeri de coordinatie pe baza de anioni policarboxilato

I.3.1. Combinatii coordinative cu acidul mandelic $C_6H_5CH(OH)COOH$

I.3.2. Combinatii coordinative cu acidul lactic $CH_3-CH(OH)COOH$

I.3.3. Combinatii coordinative cu acidul 4,4'-oxobisbenzoic

4,4'-HOOC-C₆H₄-O-C₆H₄-COOH

I.3.4. Combinatii coordinative cu acidul 2-pirazincarboxilic

1,4-N₂C₃-2-COOH

REZULTATE ORIGINALE

Capitolul II. Polimeri coordinativi cu acid mandelic si co-liganzi exo-dentati

II.1. Caracterizarea structurala, analiza spectrala si proprietatile absorbante ale polimerului de coordinare $[Cu_2(mand)_2(hmt)]_n \cdot (H_2O)_n$ (**1**)

II.2. Caracterizarea structurala si analiza spectrala a polimerului de coordinare $[Cu_2(mand)_2(4,4'-bpy)(MeOH)_2]_n$ (**2**)

II.3. Caracterizarea structurala si analiza spectrala a polimerului de coordinare



II.4. Caracterizarea structurala si analiza spectrala a complexului
[Cu₃(mand)₅(bpca)₂(ClO₄)₂]_n (**4**)

Capitolul III. Polimeri coordinativi cu acid lactic si co-liganzi exo-dentati

III.1. Caracterizarea structurala si analiza spectrala a polimerului de coordinare [Cu₂(lac)₂(4,4'-bpy)(MeOH)₂]_n (**5**)

III.2. Caracterizarea structurala si analiza spectrala a polimerului
[Cu₂(lac)₂(bpe)(MeOH)₂]_n (**6**)

Capitolul IV. Polimeri coordinativi cu acid 4,4'-oxobisbenzoic si co-liganzi exo-dentati

IV.1. Caracterizarea structurala si analiza spectrala a combinatiei complexe



IV.2. Caracterizarea structurala si analiza spectrala a combinatiei complexe



IV.3. Caracterizarea structurala si analiza spectrala a combinatiei complexe



Capitolul V. Polimeri coordinativi cu acid 2-pirazincarboxilic si co-

liganzi exo-dentati

V.1. Caracterizarea structurala si analiza spectrala a combinatiei complexe $[\text{Cu}(2\text{-pzc})(\text{epda})(\text{ClO}_4)]_n$ (**10**)

V.2. Caracterizarea structurala si analiza spectrala a combinatiei complexe $\{[\text{Ni}_2(2\text{-pzc})_3(\text{epda})_2] \cdot 2(\text{ClO}_4)\}$ (**11**)

V.3. Caracterizarea structurala si analiza spectrala a combinatiei complexe $[\text{Ni}(2\text{-pzc})(\text{dmpa})_2(\text{ClO}_4)(\text{H}_2\text{O})]_n$ (**12**)

CONCLUZII

BIBLIOGRAFIE

ANEXE

A1. Detalii experimentale

A2. Metodele de sinteza ale compusilor

A3. Date cristalografice.

INTRODUCERE

Lucrarea de fata este consacrata studiului complexilor coordinativi ai unor metale care contin liganzi carboxilici anionici si coliganzi neutri cu azot donor. Studiul a fost efectuat cu scopul principal al obtinerii de polimeri coordinativi cu retele metal-organice, descrisi in literatura internationala (in limba engleza) cu termenul de “*metal-organic frameworks*” sau prescurtat MOF.

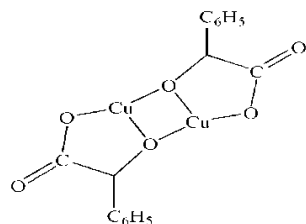
In teza sunt descrise un numar 12 combinatii noi, caracterizate prin spectroscopie de absorbtie in infrarosu si ultraviolet-vizibil si prin difractie cu raze X pe monocristal. Intr-unul din cazuri, complexul de cupru cu acid mandelic si hexametilentetramina, care prezinta canale potrivite in reteaua cristalina, s-au facut masuratori de absorbtie in retea a benzenului, toluenului, hidrogenului, dioxidului de carbon, precum si studii de analiza termica pentru a determina stabilitatea structurii la temperaturi peste cea ambianta.

Prima parte a tezei se refera la prezentarea celor mai semnificative exemple din literatura de specialitate recenta. Au descrise exemple din literatura de specialitate despre polimerii de coordinare 1-D, 2-D si 3-D construiti utilizand anioni ai acizilor policarboxilici ca puncti si variate molecule organice drept co-liganzi Acestea din urma joaca un rol important asupra dimensionalitatii si topologiei polimerilor de coordinare.

CONTRIBUTII ORIGINALE

In vederea obtinerii de retele de coordinare neutre, si cunoscandu-

se faptul ca gruparile alkoxo genereaza noduri binucleare, a fost utilizat acidul mandelic care se poate comporta ca ligand dianionic (Schema.IV.1) iar ca spacer a fost folosita hexametilentetramina.



Prin reactia dintre percloratul de cupru(II), acid mandelic si hmt, in prezenta de trietilamina si amoniac se obtine un material cristalin de compozitie $[Cu_2(mand)_2(hmt)]_n \cdot (H_2O)_n$. (1) Structura cristalina a compusului este formata dintr-o retea de coordinare tridimensională neutra (Fig.II.1)

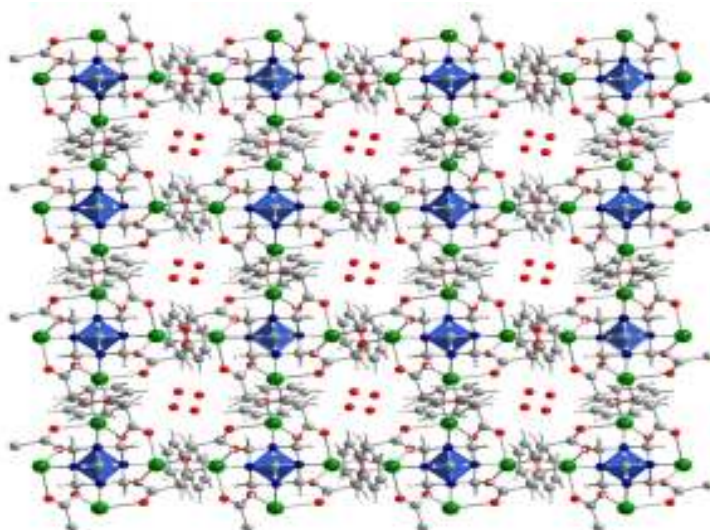


Fig. II.1 Structura cristalina a compusului 1. Vedere dealungul canalelor, urmand axa cristalografica *c*. Sunt reprezentate

moleculele de apa de cristalizare gazduite in canale. Moleculele de hmt sunt evidențiate cu albastru.

Molecula de hmt formeaza o punte cu doi din cei patru atomi de azot, rezultand lanturi (Fig.II.3a) care se aseaza in plane perpendiculare. Conexiunile dintre lanturile perpendiculare de $\{\text{Cu}_2(\text{hmt})\}$ vecine sunt realizate de gruparile carboxilice (Fig.II.2, 3b, 3c, 3d). Distanta intre ionii de cupru legati in punte de gruparea carboxilica este 5.431 Å, in timp ce distanta dintre ionii de cupru conectati prin punte hmt este 5.761 Å. Aceste valori demonstreaza absenta oricaror interactiuni intre atomi de cupru(II).

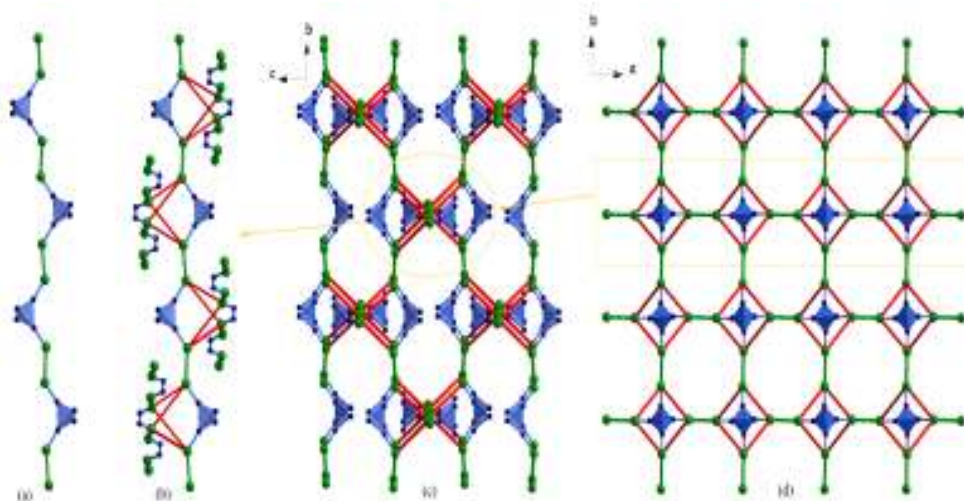


Fig.II.3 (a) Lanturi rezultate prin coordinarea nodurilor binucleare prin punti hmt ;
(b) Lanturi $\{\text{Cu}_2(\text{hmt})\}$ legate prin punti carboxilice; (c) Vedere simplificata dealungul axei cristalografice a ; (d) Imagine

simplificata dealungul axei c. Nodurile binucleare {Cu₂(mand)₂} sunt reprezentate ca linii verzi, moleculele de hmt sunt reprezentate ca tetraedre albastre; punctile carboxilice sunt reprezentate ca linii rosii.

Cea mai importanta caracteristica a structurii cristaline este prezenta canalelor observate dealungul axei cristalografice *c* (Fig.IV.1). Moleculele de apa de cristalizare sunt gazduite in aceste canale, fiecare dintre ele fiind legate prin hidrogen la un atom de oxigen de la gruparea carboxilica ((O₄W···O₂* = 2.786 Å, * = -0.5+x, y, 0.5-z). Diametrul unui canal este de 7.939 Å.

Caracterizarea texturala a retelei metal-organice a fost realizata prin masurarea izotermelor de adsorbtie-desorbtie a azotului la -196°C, folosind programe atat pentru micropori cat si pentru mezo- si macropori. Aria suprafetei a fost determinata folosind metoda lui Langmuir,¹¹⁷ in concordanta cu marimea porilor si cu compositia peretilor porilor, ambele foarte apropiate de cele observate la zeoliti microporosi. In Fig.II.6, in zona p/p₀, de la 0 la 0.8, se observa o izoterma Langmuir specifica. Aria suprafetei determinata cu acesta metoda este de 610 m²g⁻¹. Marimea porilor a fost calculata folosind formula lui Horwath-Kawazoe.¹¹⁸ Aceasta indica o distributie a marimii porilor cu un maxim la 7.94 Å, foarte apropiat de cel determinat din analiza cristalografica. Volumul porilor determinat din aceleasi calcule corespunde la 0.22cm³g⁻¹.

Fig.II.6 Izoterma de adsorbtie a azotului la -196°C pe [Cu₂(mand)₂(hmt)]·

Cresterea raportului p/p₀ de la 0.8 la 1.0 a fost investigata masurand atat izoterma de adsorbtie cat si ceea de desorbtie (Fig.II.7). Aceasta indica o crestere a adsorbției de azot pentru p/p₀ mai mare decat 0.85. Un asemenea comportament poate fi asociat cu prezenta cavitatilor intercristaline rezultate in urma aglomerarii unitatilor retelei metal-organice 3D. Tinand cont de prezenta cavitatilor intercristaline, volumul porilor a crescut la 0.47 cm³g⁻¹

Fig.II.7 Izoterma de adsorbtie a azotului la -196°C in zona (0-1)p/p₀

Stabilitatea termica a cristalelor a fost verificata prin difractie de raze X pe pulbere la temperaturi variate (Fig.II.8). Difractogrammele inregistrate arata ca structura compusului 1 este stabila pana la 280°C.

Pana la aceasta temperatura are loc o crestere a cristalinitatii asociate cu pierderea moleculelor de apa si a solventului. Dupa 280°C , a fost observata o distrugere rapida iar reteaua metal-organica se descompune in faza monoclinica de CuO, dupa cum se poate deduce din planele de reflexie la $2\Theta = 36.6^{\circ}$, 38.56° si 42.4° .

Experimentele TGA-DTA confirmă analiza de difractie de raze X pe pulbere. Analiza termogravimetrică a compusului **1** arată două pierderi de masa. Prima până în jur de 140°C , asociată unui efect endotermic, și a doua în zona $280\text{-}360^{\circ}\text{C}$, asociată cu un efect exoterm. În timp ce prima pierdere poate fi datorată eliminării apei, a doua ar trebui să corespunda descompunerii compusului.

**Fig.II.8 Difractogrammele de raze X pe pulbere a compusului 1
în zona $40\text{-}480^{\circ}\text{C}$**

Pentru testarea abilității compusului de a incorpora și alte molecule în afara de cele de apă, au fost realizate o serie de experimente de

chemosorbtie. Tabelul IV.2 prezinta adsorbtia si indexul de polaritate al moleculelor studiate.

Tabelul II.2 Chemosorbtia pentru benzen, toluen, *p*-xilen, dioxid de carbon si hidrogen

Moleculele chemosorbit e	Adsorbtie (cm ³ /g)	Polaritatea solventului	Bazitatea solventului	Aciditatea solventului
Benzen	12.3	0.667	0.124	0.000
Toluen	37.7	0.655	0.128	0.000
<i>p</i> -xilen	74.9	0.617	0.160	0.000
CO ₂	0.23	Nepolar		
H ₂	1.6	Nepolar		
H ₂ O	-	0.962	0.025	1.062

Fig.II.9 prezinta evolutia pulsurilor chemosorbtiei pentru hidrogen, toluen si *p*-xilen. Primul puls corespunde in ambele cazuri pentru standard. Umplerea completa a cavitatilor este realizata dupa aproape 15-20 min pentru hidrogen si dioxid de carbon si 50-60 min pentru moleculele aromatice.

Fig.II.9 Profilurile chemosorbtiei pentru toluen (a), p-xilen (b) si hidrogen (c)

Valorile prezentate in tabelul II.2 indica un comportament diferit pentru aceste molecule. Daca pentru dioxidul de carbon si hidrogen chemosorbtia are loc prin insertia moleculei in interiorul canalelor retelei metal-organice, in cazul moleculelor aromatic se petrece in interiorul si exteriorul canalelor intercristaline.

Analiza termica a probelor supuse chemosorbtiei moleculelor aromatic (Fig.II.10) arata ca aceste molecule au fost indepartate inainte de 200°C fara sa afecteze reteaua metal-organica. Dupa indepartarea moleculelor la 200°C , compusul **1** a fost capabil sa recaptureze acelasi volum de molecule aromatic ca si in cazul lor cele trei cicluri succesive.

Fig.II.10 Curbele TGA-DTA pentru compusul 1 după chemosorbtia toluenului

Au fost sintetizati o serie de compusi cu acid mandelic cu noduri neutre binucleare $\text{Cu}_2(\text{mand})_2\}$, unde dianionul mand^{2-} rezulta prin deprotonarea gruparilor carboxilic si hidroxi de la acidul mandelic. Aceste noduri au fost apoi conectate prin diferiti liganzi *exo-dentati* (4,4'-bispiridil, 1,2-bis(4-piridil)etan, 2,4,6-tris(2-piridil)-1,3,5-triazina).

In capitolele care urmeaza sunt prezentate compusi obtinuti pornind de la acid lactic, 4,4'-oxobisbenzoic si 2-pirazincarboxilic.

Compusul $[\text{Ni}(\text{oba})(\text{dmpa})_2] \cdot 3\text{H}_2\text{O}$ (**8**), este format din lanturi in zig-zag, cu molecule de apa la care se coordineaza.

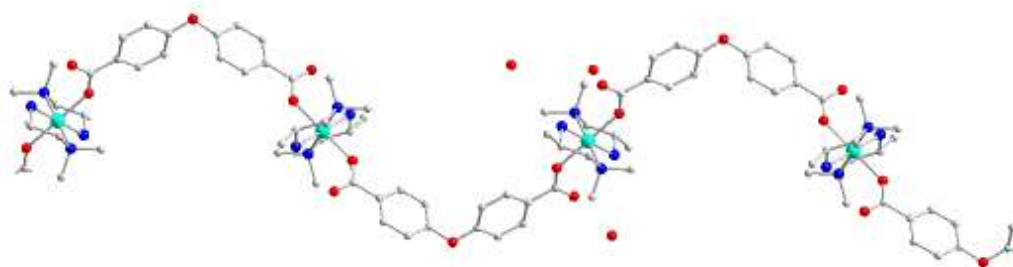


Fig.IV.24 Lanturi in zig-zag.

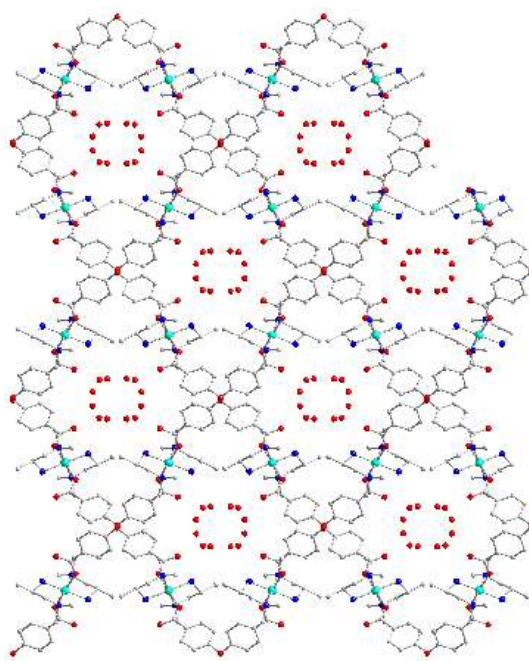


Fig.IV.25 Diagrama de impachetare a complexului 8 impreuna cu canalele de apa

Dupa indepartarea moleculelor de complex, se poate observa asezarea suvoaielor de apa.

Teza prezentata reuneste rezultatele incercarilor de sinteza, caracterizarea structurala si fizico-chimica a unor structuri supramoleculare pe baza de ioni de cupru(II), nichel(II) si cadmiu(II) si acizi policarboxilici (acidul mandelic, lactic, 4,4'-oxobisbenzoic si 2-pirazincarboxilic)

In total au fost sintetizati 12 compusi, toti fiind caracterizati prin difractie de raze X pe monocrystal. Fiecare dintre aceste compusi au fost

analizati spectral, pe domeniile infrarosu si ultraviolet-vizibil. Pentru un compus au fost efectuate difractii de raze X pe pulbere precum si experimente de chemosorbtie.